

Aufbau der Haut

Größtes Organ unseres Körpers: 1.8 m²

- Temperaturregelung
- Vitamin-D Bildung
- Immunfunktion

Barrierefunktion

- Wasser
- Mikroorganismen
- UV-Licht

UV-Licht

Wasser



Haut

Infektionen

Hauterkrankungen

Hauterkrankungen können durch exogene Faktoren entstehen

- Feuchtarbeit
- Irritantien
- Allergene



Naturkatastrophen



Wirbelsturm



Tsunami



Überschwemmung

Verteilung der Hautbeschwerden nach einem Tsunami

Untergruppen der Dermatosen	männlich		weiblich		Gesamt	
	n	%	n	%	n	%
Infektionen	43	29,66	43	35,83	86	32,45
Ekzeme	33	22,76	46	38,33	79	29,81
Traumatische Hauterkrankung	58	40,00	20	16,67	78	29,43
Andere	11	7,59	11	8,74	22	8,30
Total	145	100,00	120	100,00	265	100,00

modifiziert nach Lee et al., European Academy of Dermatology and Venereology, 2006

Klimawandel und Haut

Source	Circumstance, location, year	Casualties with skin disorders, n	Skin diseases (cases, n)	Other diseases
Vachiramon et al.	Flood; northern, northeastern and central parts of Thailand; 2006	96 examined 102 skin disorders reported	Fungal skin infection (25) Bacterial skin infection (15) Eczema (35) Xerosis (9) Prurigo (6) Traumatic skin disorder (3) Seborrheic dermatitis (3) Chronic urticaria (2) Lichen nitidus (1) Aphthous ulcer (1) Psoriasis (1) Discoid lupus erythematosus (1)	Not described
World Health Organization	Heavy rains and floods; Pakistan; 2010	NA	Skin infections (NA) Scabies (NA)	Acute diarrhea Upper and lower respiratory tract infections

Andersen et al. *International Journal of Dermatology*, 2012

Klimawandel und Haut - Naturkatastrophen-

Source	Circumstance, location, year	Casualties with skin disorders, n	Skin diseases (cases, n)	Other diseases
Centers for Disease Control	Hurricane Katrina; New Orleans, LA, USA; 2005	NA	Skin infections (56) Prickly heat (NA) Non-pruritic, erythematous, papular, non-follicular lesions (97)	Gastrointestinal disease Respiratory disease
Tak et al.	Hurricane Katrina; New Orleans, LA, USA; 2005	528 examined 258 with skin disorders	Non-specific skin rash (258)	Upper and lower respiratory disease
Noe et al.	Hurricanes Katrina and Rita; New Orleans, LA, USA; 2005	136 examined 58 with skin disorders 41 of 58 examined by dermatologists	Papular urticaria (27) Bacterial folliculitis (8) Fiberglass dermatitis (6) Brachioradial photodermatitis (2)	Not described

Andersen et al. *International Journal of Dermatology*, 2012

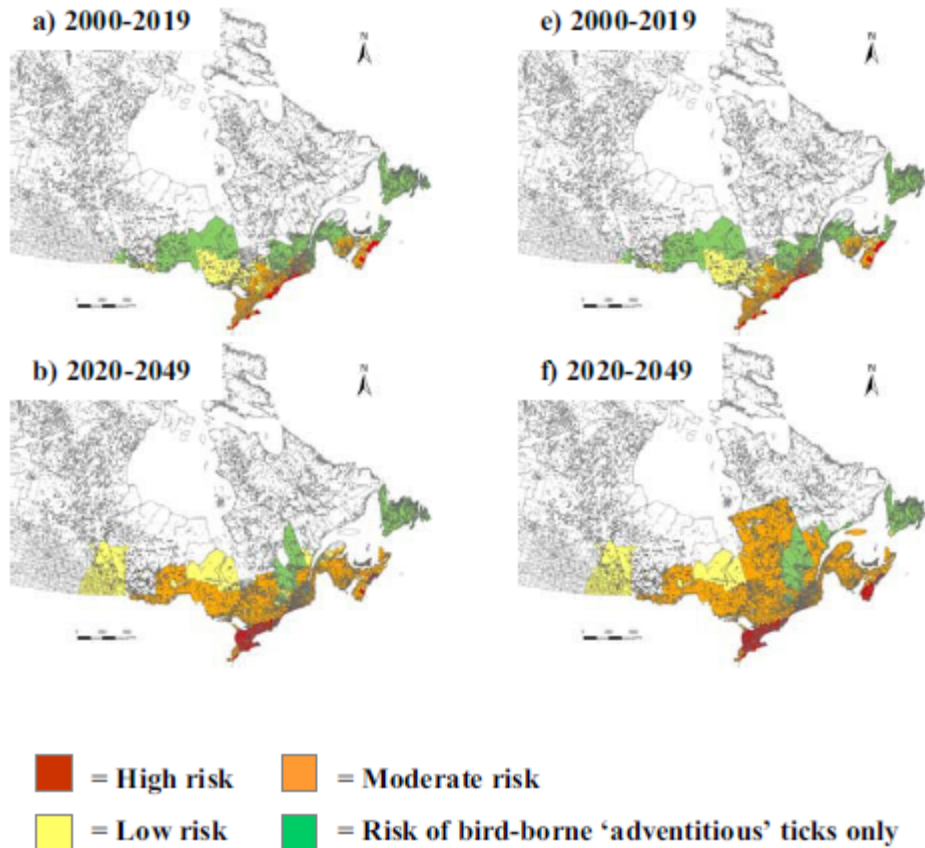
Veränderte Verbreitung von Infektionen und Klimawandel

Risk maps for range expansion of the Lyme disease vector, *Ixodes scapularis*, in Canada now and with climate change

Nicholas H Ogden^{*1,2}, Laurie St-Onge³, Ian K Barker⁴, Stéphanie Brazeau³, Michel Bigras-Poulin², Dominique F Charron⁵, Charles M Francis⁶, Audrey Heagy⁷, L Robbin Lindsay⁸, Abdel Maarouf⁹, Pascal Michel³, François Milord¹⁰, Christopher J O'Callaghan¹¹, Louise Trudel¹² and R Alex Thompson¹³

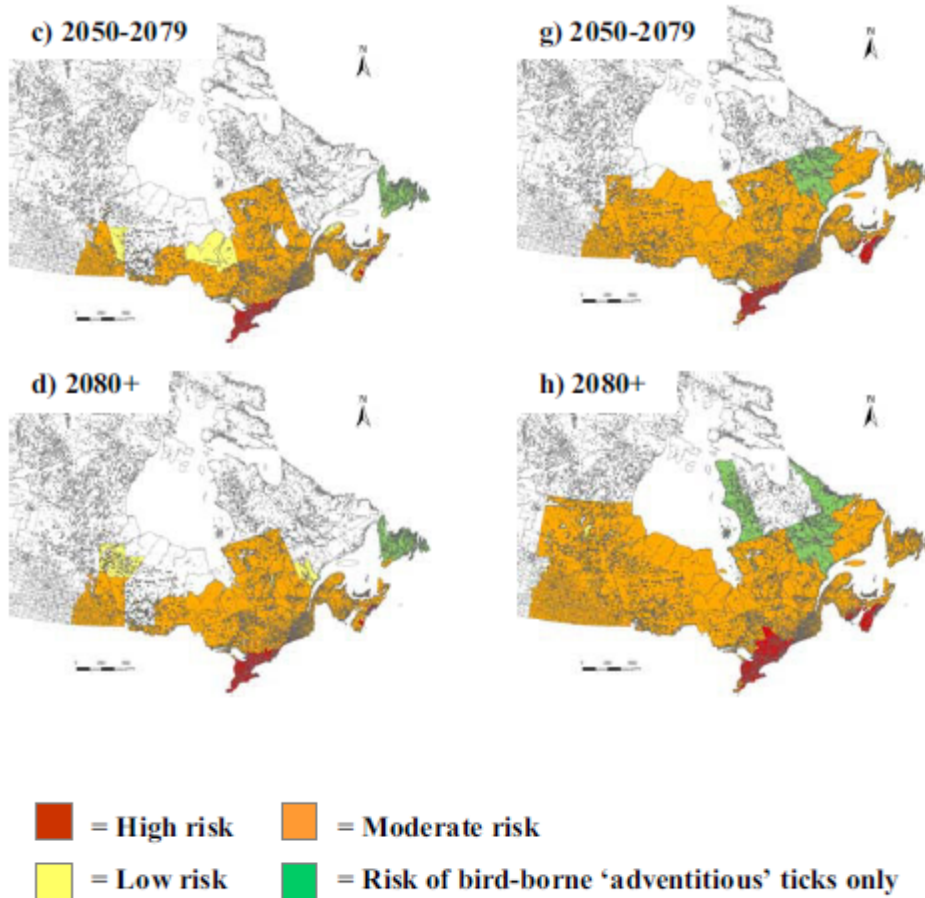
Ogden NH et al., International Journal of Health Geographics, 2008

Risikokarten für das Auftreten von Lyme-Borreliose, Vektor *Ixodes scapularis*



Odgen NH et al., International Journal of Health Geographics, 2008

Risikokarten für das Auftreten von Lyme-Borreliose, Vektor *Ixodes scapularis*



Odgen NH et al., International Journal of Health Geographics, 2008

Klima und Haut

Gran Canaria

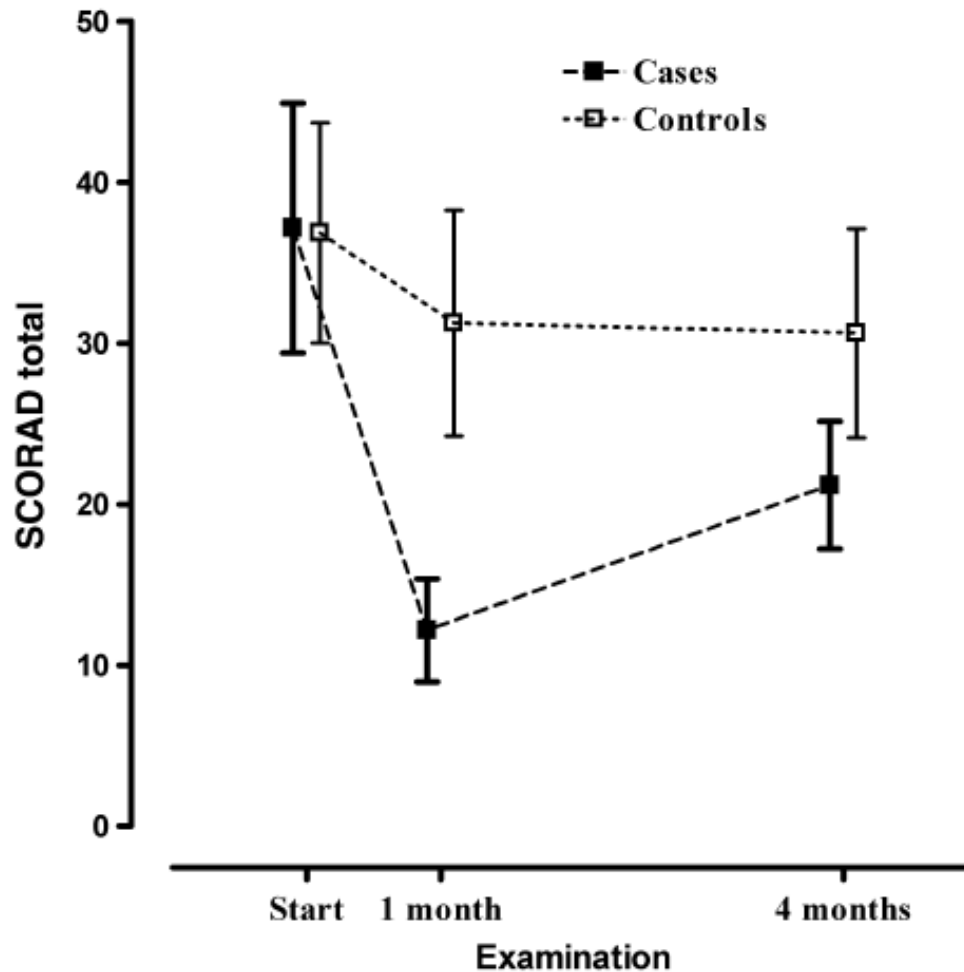


Baseline-Charakteristik der Index und der Kontrollgruppe

	Indexgruppe (n=30)	Kontrollgruppe (n=26)
Alter [Jahre (Bereich)]	8.35 (4-13)	7.40 (3-13)
Geschlecht ♂/♀ (n/n)	13/17	13/13
Untersucht: Frühling/Herbst (n/n)	14/16	13/13
Gesamt-IgE [ku/l; geometrischer Mittelwert (Bereich)]	399.4 (5.3-5000)	232.4 (10.7-5000)
Positiver SPT (n/n)	28/30	23/26
SCORAD [gesamt; Mittelwert (SD)]	37.15 (20.76)	36.84 (16.94)
CDLQI, Mittelwert (SD)	8.73 (5.90)	10.08 (5.89)
Serum-ECP [μ g/l; Median (Bereich)]	19.95 (5.4-56.60)	11.4 (3.0-49.2)
Hautbakterielle Besiedlung (<i>Staphylococcus aureus</i> , %)	76.7	80.8

Byremo et al., Allergy, 2006

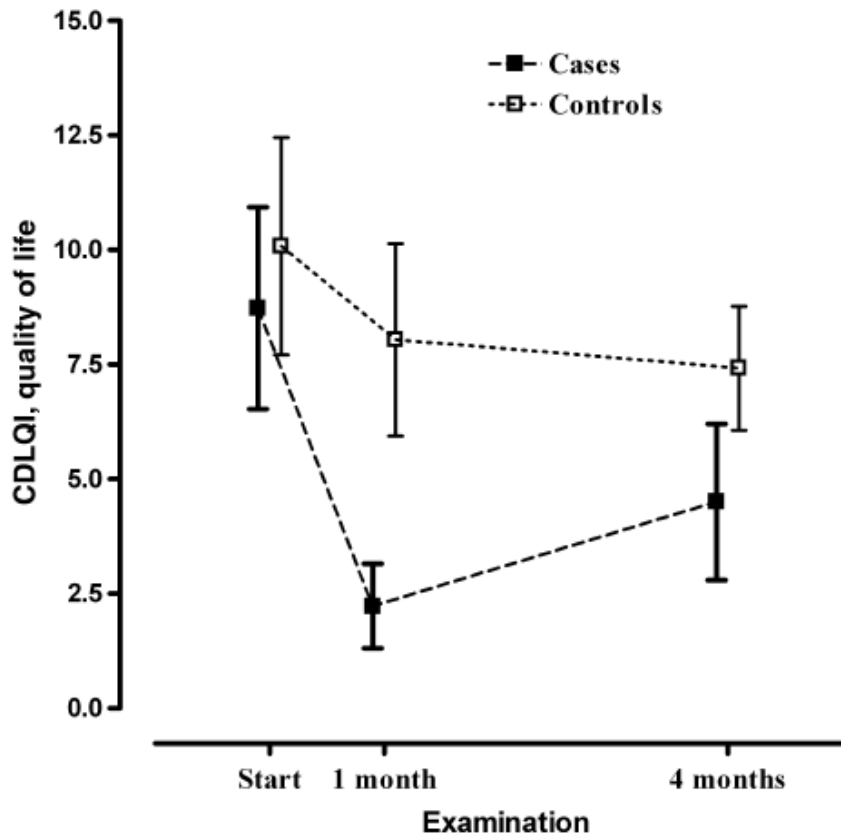
Schweregrad des Ekzems (SCORAD)



SCORAD Baseline, nach 1 Monat und nach Follow-up für 3 Monate (4 Monate zum Ausgangswert). Die Ergebnisse werden als Mittelwerte mit 95% Konfidenzintervall dargestellt.

Byremo et al., Allergy, 2006

Verbesserung der Lebensqualität



CDLQI zu Studienbeginn, nach 1 Monat und nach Follow-up für 3 Monate (4 Monate zum Ausgangswert). Die Ergebnisse werden als Mittelwerte dargestellt mit 95 % Konfidenzintervall.

Byremo et al., Allergy, 2006

Licht und Haut



Hauttyp I

hat helle Haut mit Sommersprossen, blaue Augen und rötliche Haare. Hochsommer bekommt er während der Mittagszeit nach 5 - 10 min einen Sonnenbrand; braun wird er niemals.

Hauttyp II

hat blonde Haare, graue, blaue o. grüne Augen. Haut rötet sich nach 10 bis 20 Minuten, wenn sie Sonne nicht gewöhnt ist, mit der Zeit wird er aber mäßig braun.

Hauttyp III

hat dunkelblonde Haare, graue o. braune Augen. Kann sich ungebräunt 20 - 30 min in Sonne aufhalten, bevor Sonnen-brand einsetzt. Wiederholte Bestrahlungen wird er braun.

Hauttyp IV

bleibt mit seiner hellbraunen Haut weitgehend vom Sonnenbrand verschont. Er hat meist dunkle Haare und braune Augen. Wenn seine Haut nicht sonnengewöhnt ist, rötet sie sich frühestens nach 40 Minuten

Maximale UVI-Werte verschiedener Städte

		Jan	Feb	Mär	Apr	Mai	Jun	Jul	Aug	Sep	Okt	Nov	Dez
	Nordhalbkugel:												
St. Petersburg Rußland	60°N	0	0	1	3	4	5	5	4	2	1	0	0
Berlin Deutschland	52°N	1	1	2	4	5	7	7	5	3	1	1	0
Vancouver Kanada	49°N	1	1	3	4	6	7	7	6	4	2	1	1
Paris Frankreich	49°N	1	1	3	4	6	7	7	6	4	2	1	0
Ulan Bator Mongolei	48°N	1	2	3	5	6	7	8	6	4	2	1	1
New York USA	41°N	2	3	4	6	7	8	9	8	6	3	2	1
Palma de Mallorca Spanien	39°N	2	3	4	6	8	9	9	8	6	4	2	1
Iraklion Griechenland	35°N	3	4	5	8	9	9	10	9	7	4	3	2

Geographische Parameter und Temperatur

Region	Latitüde	UV-Anzahl (RB- counts x 10 ⁻⁴)	Av. T _{max} , Sommer- monate/ °C
Detroit	42.2	110	27.0
New Mexiko	35.1	197	29.1

van der Leun, Photochem Photobiol Sci, 2008

Häufigkeit von Hautkrebs ist regional verschieden

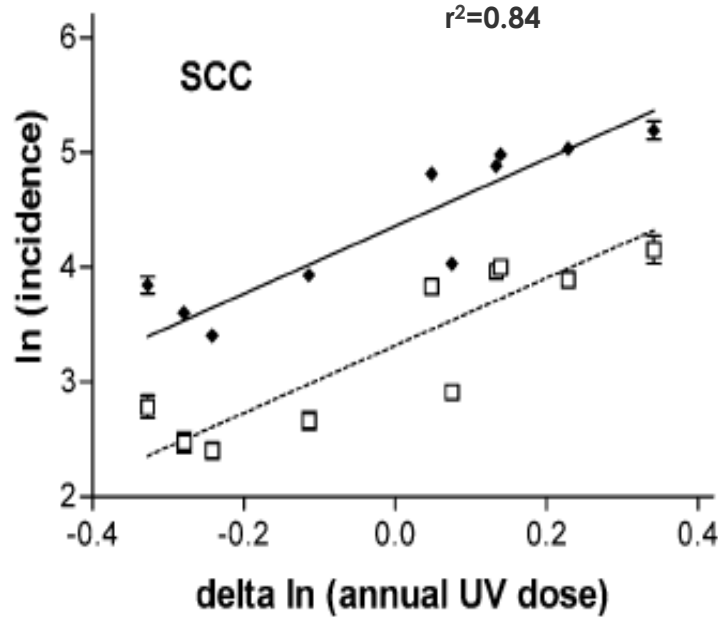
BCC und SCC Inzidenz

Region	Periode	BCC männlich	BCC weiblich	SCC männlich	SCC weiblich
Detroit	77-78	142.1 (3.1)	97.0 (2.3)	30.0 (1.5)	11.0 (0.8)
New Mexiko	77-78	571.7 (25.7)	339.8 (17.0)	180.2 (14.6)	63.4 (7.3)

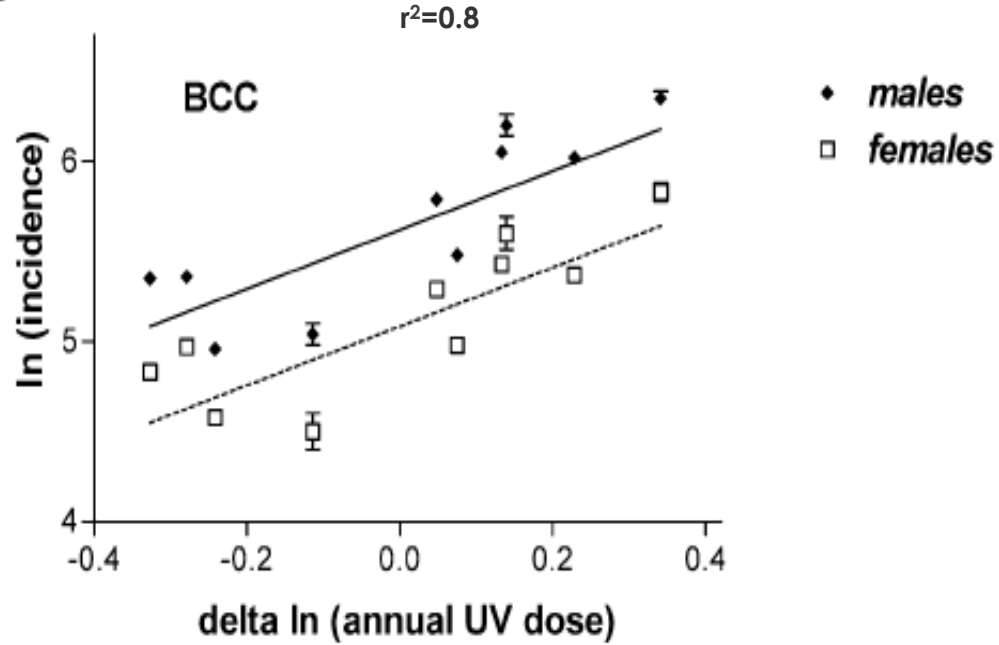
van der Leun, Photochem Photobiol Sci, 2008

Assoziation zwischen UV-Exposition und Hautkrebs

a

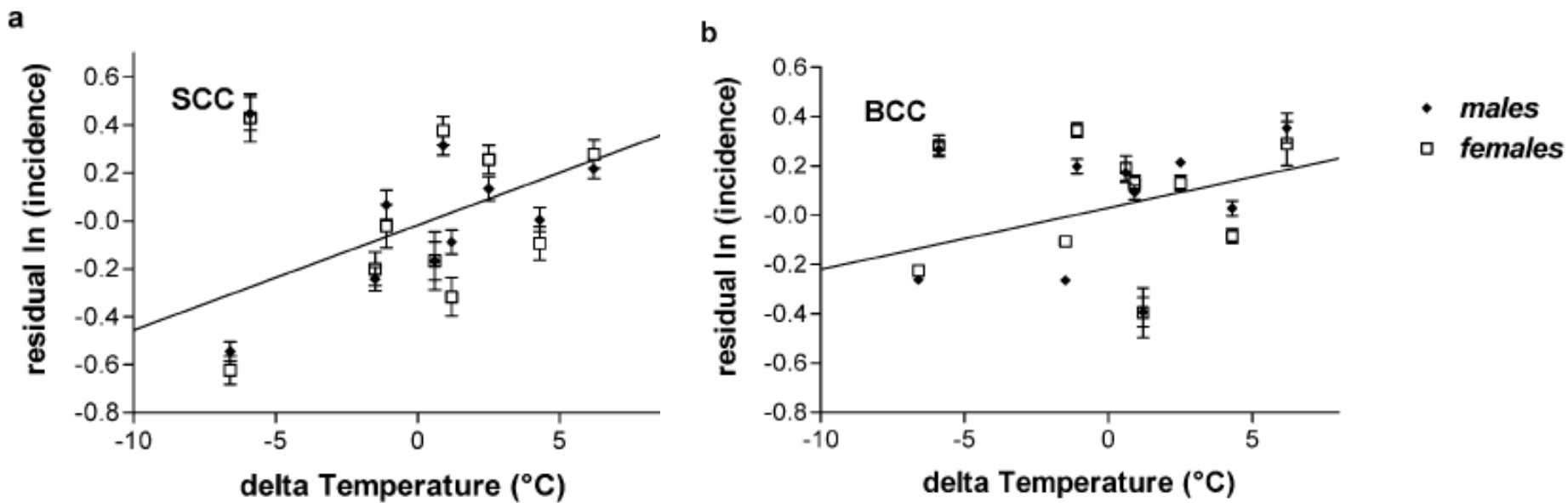


b



van der Leun, Photochem Photobiol Sci, 2008

Einfluss der Temperatur auf die Inzidenz der NMSC



van der Leun, Photochem Photobiol Sci, 2008

Zusammenfassung

Klima-assozierte Faktoren beeinflussen die Hautbarriere

**Plötzliche und intensive Veränderungen der Umwelt
beeinflussen die Integrität der Haut**

- **Toxische Schädigungen treten auf**
- **Infektionen werden begünstigt**

**Vermehrte UV-Bestrahlung fördert Entstehen von Hautkrebs
erhöhte Umgebungstemperatur scheint das Auftreten von
Hautkrebs zu begünstigen**